

## Übung zu

## Grundgebiete der Elektrotechnik III

WS 09/10 - Blatt 3

### Aufgabe 14

Betrachtet werden zwei Punktladungen mit entgegengesetztem Vorzeichen  $\pm Q$  auf der  $z$ -Achse im Abstand  $d$  symmetrisch zum Ursprung (Bild 1).

- Formulieren Sie das elektrostatische Potential  $\varphi_e$  dieser Anordnung in Abhängigkeit von  $r_1$  und  $r_2$ .
- Ermitteln Sie mithilfe des Kosinussatzes  $c^2 = a^2 + b^2 - 2ab \cdot \cos \gamma$  die Abstände  $r_1$  und  $r_2$  und geben Sie deren Kehrwerte als Funktion von  $1/r$  und  $\theta$  an.

Verwenden Sie für die Ausdrücke  $1/r_1$  und  $1/r_2$  die Näherung

$$\left(1 + \frac{d}{r}\right)^{-1/2} \approx 1 - \frac{1}{2} \cdot \frac{d}{r} \quad \left(\text{falls } \frac{d}{r} \ll 1\right).$$

- Bestimmen Sie das elektrostatische Potential  $\varphi_D$  eines Punktdipols als Grenzwert  $d \rightarrow 0$  bei konstantem Dipolmoment  $p = Q \cdot d$ .
- Geben Sie die Komponenten der elektrischen Feldstärke  $\vec{E}_D$  durch Gradientenbildung von  $\varphi_D$  in Kugelkoordinaten an. Was fällt bei der Abhängigkeit von  $|\vec{E}_D|$  bzw.  $\varphi_D$  von  $r$  auf?

### Aufgabe 15

Gegeben ist die zylinderförmige Raumladungsverteilung aus Aufgabe 12 d.

- Formulieren Sie die Poisson- und Laplace-Gleichung in einem geeigneten Koordinatensystem. Welche Terme entfallen aus Symmetriegründen?

- Bestimmen Sie das elektrostatische Potential  $\varphi_e$  der Raumladungsverteilung im Innen- und Außenraum mit dem Ergebnis aus a) durch zweifach Integration. Bestimmen Sie die Integrationskonstanten so, dass  $\vec{E}$  und  $\varphi$  überall stetig sind. Wählen Sie  $\varphi_e = 0$  auf der  $z$ -Achse.

### Aufgabe 16

Gesucht ist das elektrostatische Potential  $\varphi_e$  von zwei parallelen, in  $z$ -Richtung unendlich ausgedehnten Linienladungen:  $q_L$  schneidet die  $x$ -Achse bei  $x = a$ ,  $-q_L$  bei  $x = -a$ . Im Koordinatenursprung soll  $\varphi_e = 0$  gelten.

- Formulieren Sie  $\varphi_e$  in Abhängigkeit von  $\rho_1$  und  $\rho_2$ , wobei  $\rho_1$  und  $\rho_2$  den jeweiligen Abstand des Aufpunktes von  $q_L$  bzw.  $-q_L$  beschreiben.

HINWEIS: Das Potential **einer** Linienladung  $q_L$  in der  $z$ -Achse mit dem Be-

$$\text{zugspunkt bei } \rho_0 \text{ lautet } \varphi_e = -\frac{q_L}{2\pi\epsilon} \cdot \ln \frac{\rho}{\rho_0}.$$

- Zeigen Sie, dass für jede Äquipotentialfläche gilt:  $\left(\frac{\rho_2}{\rho_1}\right)^2 = k^2$  mit  $k = \text{const.}$

- Formulieren Sie die Bedingung aus b) in kartesischen Koordinaten.

- Bringen Sie die Gleichung aus c) in die Form  $(x - x_0)^2 + y^2 = R^2$  und bestimmen Sie die Größen  $x_0$  und  $R$  in Abhängigkeit von  $k$ .

- Welche geometrische Form haben die Äquipotentialflächen dieser Anordnung?

### Aufgabe 17

Betrachtet wird ein Winkelkondensator mit dem Öffnungswinkel  $\alpha$  und Kondensatorplatten der Länge  $a$ , der Ausdehnung in  $z$ -Richtung  $b$  und dem Abstand  $\rho_0$  vom Ursprung (Bild 2). Zwischen den Platten liegt die Spannung  $U$  an. Es sollen keine Streueffekte an den Rändern des Kondensators auftreten d. h. im Innenraum gilt  $\vec{E} = E_\phi(\rho, \phi) \cdot \vec{e}_\phi$  und im Außenraum gilt  $\vec{E} = 0$ .

a) Bestimmen Sie  $\vec{E}$  und das elektrostatische Potential  $\varphi_e$  in Zylinderkoordinaten im Innenraum des Kondensators.

b) Geben Sie die elektrische Flussdichte  $\vec{D}$  unmittelbar oberhalb der unteren Platte an. Wie groß ist die Ladung  $Q$  auf der unteren Platte?

c) Was ergibt sich für die Kapazität  $C$  des Kondensators?

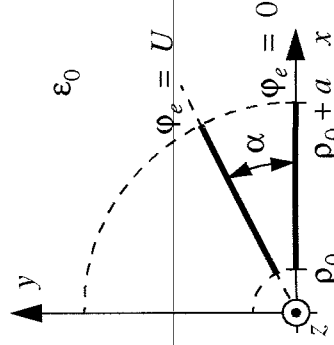


Bild 2

### Aufgabe 18

Gegeben sind zwei parallele, in  $z$ -Richtung unendlich ausgedehnte Zylinderleiter mit dem Radius  $R$  und dem Achsenabstand  $2x_0$ , mit  $x_0 > R$ .

a) Für welche Parameter  $k_1$  und  $k_2$  in Abhängigkeit von  $R$  und  $x_0$  stimmen die Äquipotentialflächen einer Anordnung aus zwei Linienladungen  $\pm q_L$  mit den Oberflächen der Zylinderleiter überein? Verwenden Sie das Ergebnis aus Aufgabe 16.

b) Welche elektrische Spannung  $U_{12}$  besteht zwischen den beiden Äquipotentialflächen in Abhängigkeit von  $q_L$ ? Welche Ladung  $\pm \Delta Q$  pro Länge  $\Delta l$  müssen die Zylinderleiter tragen, damit sich im Außenraum der gleiche Feldverlauf ergibt?

c) Wie groß ist der Kapazitätsbelag  $C' = \Delta C / \Delta l$  der Anordnung? Verwenden Sie dazu den Ansatz  $\Delta C = \Delta Q / U_{12}$ .

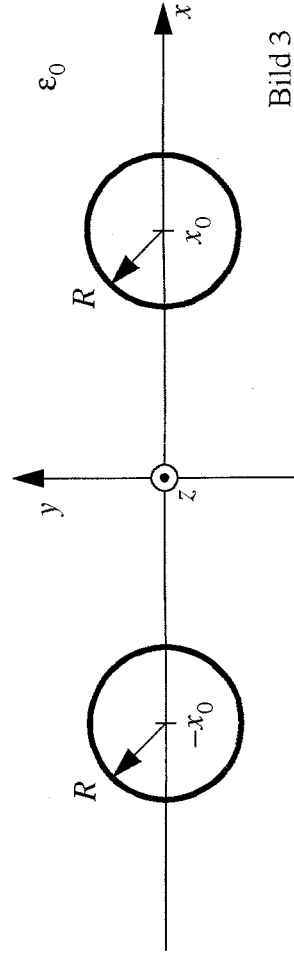


Bild 3

### Aufgabe 19

Eine Leiterbahn einer integrierten Schaltung (Bild 4) mit den Abmessungen  $w=0.4\mu\text{m}$ ,  $d=0.25\mu\text{m}$  verläuft im Abstand  $h=0.25\mu\text{m}$  über einer leitenden Ebene. Das Isoliermaterial zwischen Leiterbahn und Ebene ist  $\text{SiO}_2$  mit  $\epsilon_r \approx 4$ .

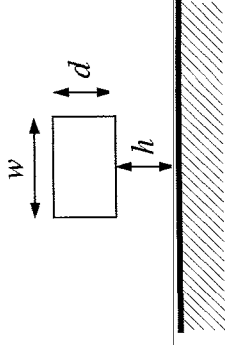


Bild 4

a) Bestimmen Sie den Kapazitätsbelag  $C'$  der Anordnung näherungsweise, indem Sie die Bodenfläche und die Seitenflächen des Leiters als Elektroden von Platten- bzw. Winkelkondensatoren zur Ebene betrachten.

Alternativ kann  $C'$  durch eine andere Näherung berechnet werden (Bild 5).

b) Bestimmen Sie mit dem Ergebnis aus Aufgabe 18c den Kapazitätsbelag eines Zylinders mit dem Durchmesser  $d$  im Abstand  $h$  über einer Ebene.

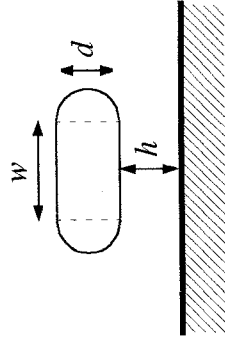


Bild 5

c) Berechnen Sie  $C'$ , indem Sie die Leiterbahn als Kombination einer plattenförmigen und einer zylinderförmigen Elektrode betrachten.

### Aufgabe 20

Die Elektroden eines luftgefüllten Plattenkondensators mit der Fläche  $A$  im Abstand  $d$  tragen die Ladung  $\pm Q = \text{const.}$  Streueffekte des elektrischen Feldes sind zu vernachlässigen.

a) Wie groß ist die im Kondensator gespeicherte elektrostatische Energie?

b) Bestimmen Sie die Kraft  $F$  zwischen den Platten mit der Methode der virtuellen Verschiebung.

## Übungsklausur GET 3

→ Fr. 8.1.2010 18:15 Uhr - 19:15 Uhr

Fortsetzung Aufg. 16.)

$$\text{d.1.} \quad \Leftrightarrow x_A^2 (1-k^2) + 2x_A a (1+k^2) + a^2 (1-k^2) + y_A^2 (1-k^2) = 0$$

falls

$$\Leftrightarrow k^2 \neq 1$$

$$x^2 + \underbrace{\frac{1+k^2}{1-k^2} \cdot 2x_A \cdot a}_{=: -2x_0} + a^2 + y_A^2 = 0$$

$$\text{d.h.} \quad x_0 = -\frac{1+k^2}{1-k^2} \cdot a = \frac{k^2+1}{k^2-1}$$

Quadratische Ergänzung:

$$x_A^2 - 2x_0 x_A + x_0^2 + a^2 + y_A^2 = x_0^2$$

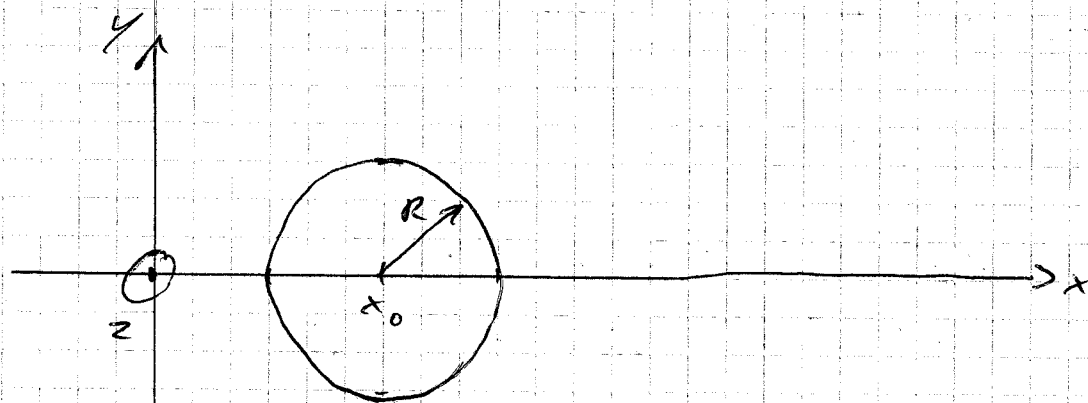
$$\underbrace{(x_A - x_0)^2 + y_A^2}_{\text{Kreisgleichung}} = \underbrace{x_0^2 - a^2}_{=: R^2}$$

$$\text{Vgl. KGÜ: } R^2 = x_0^2 - a^2$$

$$\begin{aligned} \text{also } R^2 &= \left( \frac{k^2+1}{k^2-1} \right)^2 \cdot a^2 - a^2 \\ &= \frac{k^2+1 - (k^2-1)^2}{(k^2-1)^2} a^2 \\ &= \frac{4k^2}{(k^2-1)^2} a^2 \end{aligned}$$

$$\rightarrow R = \sqrt{\frac{4k^2}{(k^2-1)^2} a^2} = \frac{2k}{|k^2-1|} a$$

e.) Kreisgleichung mit Radius  $R$   
und Mittelpunkt  $x_A = x_0, y_A = 0$



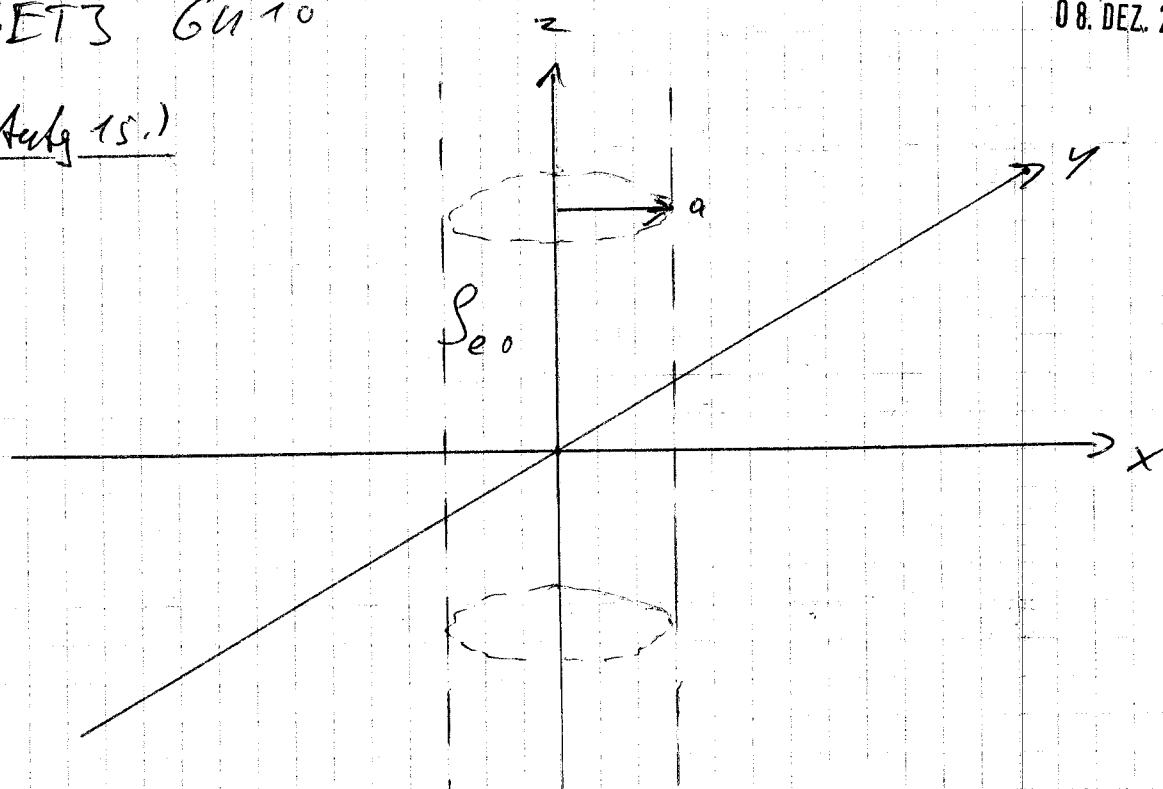
$$f_1, f_2 \geq 0 \Rightarrow k \geq 0$$

$$R \geq 0, \begin{cases} x_0 > 0 & \text{falls } k > 1 \\ x_0 < 0 & \text{falls } k < 1 \end{cases}$$

Die Gleichung beschreibt Kreise

in der  $x$ - $y$ -Ebene. Die Äquipotenzialflächen sind zwei  $z$ -Achse achsenparallele Zylinderflächen.

Sonderfall  $k=1 \Leftrightarrow f_1 = f_2$   
beschreibt Punkte auf  $y$ - $z$ -Ebene

Aufg 15.1)

$$p_e(\vec{r}) = \begin{cases} p_{e0} & \text{für } 0 \leq \rho \leq a \\ 0 & \text{sonst} \end{cases}$$

Aus Symmetriegründen folgt

$$p_e(\vec{r}) = p_e(\rho) \Rightarrow \varphi_e(\vec{r}) = \varphi_e(\rho) = f(\phi, z)$$

Laplace-Operator in zylinderkoordinaten:

$$\Delta \varphi_e = \frac{1}{\rho} \frac{\partial}{\partial \rho} \left( \rho \cdot \frac{\partial \varphi_e}{\partial \rho} \right) + \underbrace{\frac{1}{\rho^2} \cdot \frac{\partial^2 \varphi_e}{\partial \phi^2}}_{=0} + \underbrace{\frac{\partial^2 \varphi_e}{\partial z^2}}_{=0}$$

$$\text{also } \Delta \varphi_e = \frac{1}{\rho} \frac{\partial}{\partial \rho} \left( \rho \cdot \frac{\partial \varphi_e}{\partial \rho} \right) = \begin{cases} -\frac{p_{e0}}{\epsilon} & \text{für } 0 \leq \rho \leq a \\ 0 & \text{sonst} \end{cases}$$

b.) (i) innen ( $0 \leq r \leq a$ )

$$\frac{1}{r} \cdot \frac{\partial}{\partial r} \left( r \cdot \frac{\partial \varphi_e}{\partial r} \right) = - \frac{\rho_{eo}}{\epsilon} = \text{const}$$

(Poisson-Gleichung)

für  $r > 0$

$$\Leftrightarrow \frac{\partial}{\partial r} \left( r \cdot \frac{\partial \varphi_e}{\partial r} \right) = - \frac{\rho_{eo}}{\epsilon} r$$

1. Integration

$$r \cdot \frac{\partial \varphi_e}{\partial r} = - \frac{\rho_{eo}}{\epsilon} \cdot \int r \, dr = - \frac{\rho_{eo}}{\epsilon} \cdot \frac{1}{2} r^2 + C_1$$

$r > 0$ :

$$\Leftrightarrow \underbrace{\frac{\partial \varphi_e}{\partial r}}_{= -E_r} = - \frac{\rho_{eo}}{2\epsilon} \cdot r + \frac{C_1}{r}$$

hier:  $\vec{E}$  stetig, d.h.  $|\vec{E}| < \infty$   
insbesondere  $\lim_{r \rightarrow 0} |E_r| < \infty$

also  $C_1 = 0$

( $C_1 \neq 0$  würde eine unendlich lange Linienladung  
in der z-Achse erfordern)

$$(*) \quad \frac{\partial \varphi_e}{\partial r} = - \frac{\rho_{eo}}{2\epsilon} \cdot r$$

2. Integration

$$\varphi_e = - \frac{\rho_{eo}}{4\epsilon} \cdot r^2 + C_2$$

Wähle den Bezugspunkt bei  $r = 0$   
d.h.  $\varphi_e(r \rightarrow 0) = 0$

$$\Rightarrow c_2 \stackrel{!}{=} 0 \quad \text{also} \quad \varphi_e(\rho) = -\frac{\rho_{e0}}{4\epsilon} \rho^2$$

$$\text{für } 0 \leq \rho \leq a$$

↑  
stetige Ergänzung

(ii.) außen ( $a < \rho$ )

$$\frac{1}{\rho} \cdot \frac{\partial}{\partial \rho} \left( \rho \cdot \frac{\partial \varphi_e}{\partial \rho} \right) = 0 \quad (\text{Laplace-Gleichung})$$

$$\rho > 0 \\ \Leftrightarrow \frac{\partial}{\partial \rho} \left( \rho \cdot \frac{\partial \varphi_e}{\partial \rho} \right) = 0$$

1. Integration

$$\rho \cdot \frac{\partial \varphi_e}{\partial \rho} = c_3$$

$$\rho > 0 \\ \Leftrightarrow \frac{\partial \varphi_e}{\partial \rho} = \frac{c_3}{\rho}$$

um

-  $E_\rho$  stetig bei  $\rho = a$

$$\lim_{\rho \rightarrow a-0} \frac{\partial \varphi_e}{\partial \rho} \stackrel{!}{=} \lim_{\rho \rightarrow a+0} \frac{\partial \varphi_e}{\partial \rho}$$

(Grund: Es gibt keine Flächenladung  
 $\sigma_e$  bei  $\rho = a$ )

$$\Leftrightarrow \underbrace{-\frac{\rho_{e0}}{2\epsilon} \cdot a}_{(*)} \stackrel{!}{=} -\frac{c_3}{a}$$

$$\Rightarrow C_3 = -\frac{\rho_{eo}}{2\epsilon} \cdot a^2$$

$$\text{also } \frac{\partial \varphi_e}{\partial \rho} = -\frac{\rho_{eo}}{2\epsilon} \cdot \frac{a^2}{\rho}$$

2. Integration

( $\varphi_e$  stetig bei  $\rho=a$ )

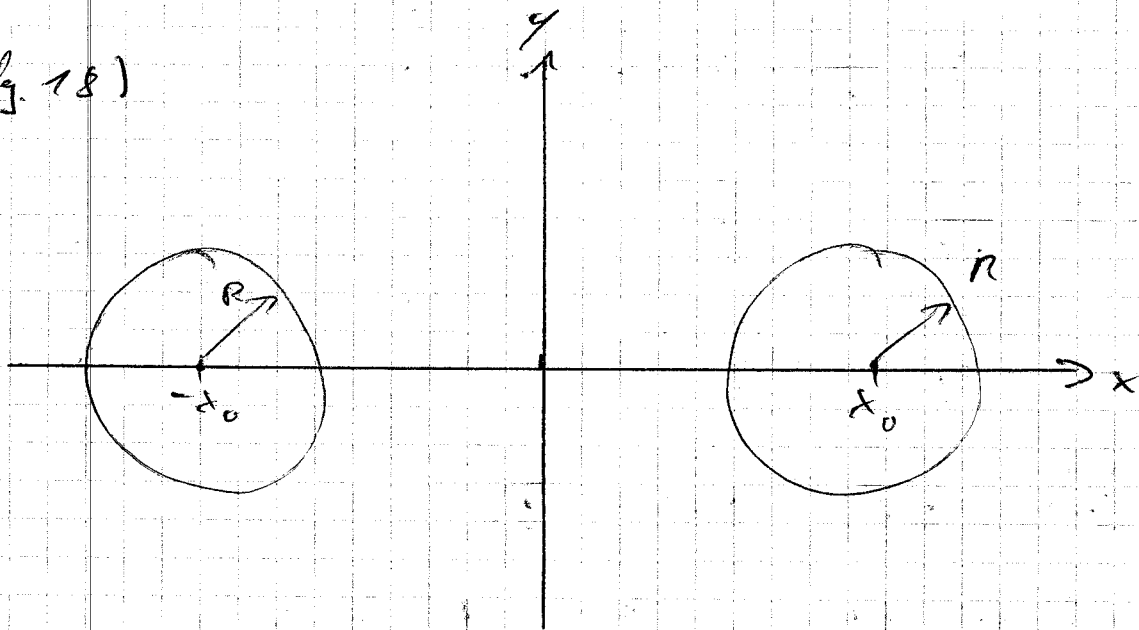
$$\varphi_e(\rho) = \varphi_e(\rho=a) - \int_{\rho'=a}^{\rho} \left( +\frac{\rho_{eo}}{2\epsilon} \cdot \frac{a^2}{\rho'} \right) d\rho'$$

$$= -\frac{\rho_{eo} \cdot a^2}{4\epsilon} - \frac{\rho_{eo} \cdot a^2}{2\epsilon} \cdot \ln\left(\frac{\rho}{a}\right)$$

$$\rightarrow \varphi_e(\rho) = -\frac{\rho_{eo} a^2}{4\epsilon} \left( 1 + 2 \cdot \ln\left(\frac{\rho}{a}\right) \right)$$

für  $a \leq \rho$

Aufg. 18)



Gesucht: Potentialverlauf zwischen den

Leitern (Lösungsskizze)

Ansatz: Ersatzladungsanordnung,

die in Lösungsskizze das  
gleiche el. Feld erzeugt



a) aus Aufg. 1b

Äquipotentialflächen zweier  
paralleler Linienladungen  $\pm q_L$  im  
Abstand  $2a$  sind Zylinder

$$(x_A - x_0)^2 + y_A^2 = R^2$$

$$\text{mit } x_0 = \frac{k^2 + 1}{k^2 - 1} \cdot a ; \quad R = \frac{2k}{|k^2 - 1|} \cdot a$$

$$k := \frac{\rho_2}{\rho_1} > 0$$

$k > 1 \Leftrightarrow x_0 > 0$  (Zylinder im rechten  
Halbraum)

$k < 1 \Leftrightarrow x_0 < 0$  (Zylinder im linken  
Halbraum)

hier bekannt:  $x_0, R$

gesucht  $k_1, k_2, a$

i.) rechter Zylinder:  $k_1 > 1$

$$x_0 = \frac{k_1^2 + 1}{k_1^2 - 1} \cdot a ; \quad R = \frac{2k_1}{k_1^2 - 1} \cdot a$$

ii.) linker Zylinder:

⋮

Eliminieren von  $a$ :

führt auf eine quadratische Gleichung:

$$k_{1/2} = \frac{x_0}{R} \pm \sqrt{\frac{x_0^2}{R^2} - 1}$$

Man kann zeigen, dass  $k_1 \cdot k_2 = 1$   
gilt.

$$\text{also } k_1 = \frac{1}{k_2}$$